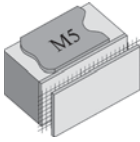
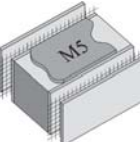
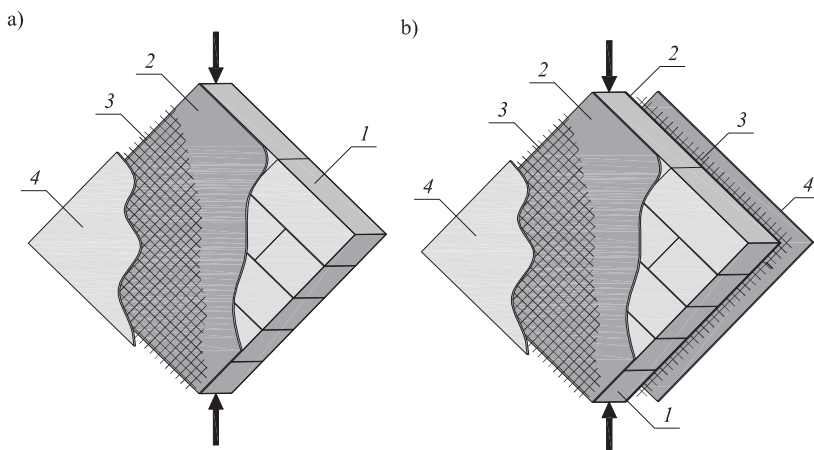


Rysunek 7.91. Rozmieszczenie zbrojenia spoin wspornych w modelach badawczych

Badania elementów ze zbrojeniem powierzchniowym [R3] wykonano na 12 modelach podzielonych na dwie serie. W serii RL-S-F1, składającej się z 6 elementów, zastosowano zbrojenie umieszczone na jednej powierzchni licowej muru, a w serii RL-S-F2 zbrojenie było umieszczone na obydwu powierzchniach muru. Program badań modeli murów wzmocnionych powierzchniowo zawarto w tabelicy 7.23, konstrukcję i położenie zbrojenia przedstawiono na rysunku 7.92.

Tablica 7.23. Program badań ścian ukośnie ściskanych/rozciąganych ze zbrojeniem powierzchniowym

Grupa elementów	Lp.	Nazwa serii	Technologia zbrojenia	Rodzaj i klasa zaprawy	Rodzaj zbrojenia	Liczba elementów badawczych
Elementy zbrojone powierzchniowo	1	 RL-S-F1	modele wzmocnione jednostronnie	M5	dwukierunkowa siatka PBO-MESH GOLD 22/22	6
	2	 RL-S-F2	modele wzmocnione dwustronnie	M5	dwukierunkowa siatka PBO-MESH GOLD 22/22	6

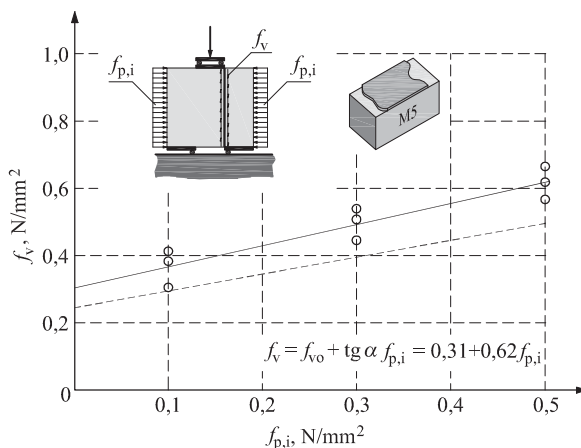


Rysunek 7.92. Rozmieszczenie zbrojenia powierzchniowego modeli badawczych; 1 – mur, 2 – zaprawa systemowa PBO-MX Gold Muratora, 3 – dwukierunkowa siatka PBO-MESH Gold 22/22, 4 – wierzchnia zaprawa systemowa PBO-MX Gold Muratora

### 7.3.5. Wyniki badań początkowej wytrzymałości na ścinanie metodą przecinania

#### 7.3.5.1. Seria SM – modele ze spoiną równą szerokości muru

Wyniki badań elementów serii SM, w których zastosowano spoinę wsporną o szerokości równej szerokości muru  $t = 180$  mm, przedstawiono w postaci wykresu (rys. 7.93), na którym wytrzymałości na ścinanie obliczone ze wzoru (7.38) podano w funkcji wstępnych naprężeń ściskających obliczonych ze wzoru (7.37).



Rysunek 7.93. Wyniki badania wytrzymałości na ścinanie elementów serii SM